

(133)

## 通気攪拌下の有効動粘度

東北大院・松崎 均 東北大工 谷口 尚司, 菊池 淳

**1. 緒言** 通気攪拌下における精錬反応特性は、槽内の気泡の分散挙動と密接に関係すると思われる。したがって、精錬反応特性を明確にするためには、この気泡の分散挙動を十分明らかにする必要がある。そこで本報では、前報<sup>1)</sup>に引きつづき通気攪拌槽内のガスホールダップ分布を広範な装置条件で測定した。そして、その結果を前報のモデルで検討した。

**2. 実験** 槽はアクリル製の円筒で、底面に設けた内径  $0.6 \times 10^{-2} \text{ m}$  のノズルから水中に所定流量の窒素を吹き込んだ。ガスホールダップは電気探針法によて測定した。実験条件は以下の通りである。槽半径  $r_1 = 0.095 \sim 0.50 \text{ m}$ , 浸高さ  $z_1 = 0.1 \sim 0.4 \text{ m}$ , ガス流量  $q_G = (16.7 \sim 167) \times 10^{-6} \text{ m}^3 \cdot \text{s}^{-1}$

**3. 解析** (1) および(2)式に無次元化した流れおよび気泡分散の式を示した。また境界条件を(3)式に示した。

$$\bar{\theta}\bar{\theta}'/\zeta^2 - \bar{\theta}\bar{\theta}'/\zeta^2 = (\bar{\theta}' - \bar{\theta}/\zeta)/\zeta + \Theta \quad (1)$$

$$\Theta\bar{\theta} + \zeta^2\Theta/2 = -S\zeta\Theta' \quad (2)$$

$$\left. \begin{array}{l} \zeta = 0 : \bar{\theta} = \bar{\theta}' = 0, \bar{\theta}'' = \bar{\theta}, \Theta = \Theta' \\ \zeta = \infty : \bar{\theta}' = \bar{\theta}'' = 0, \Theta = 0 \end{array} \right\} \quad (3)$$

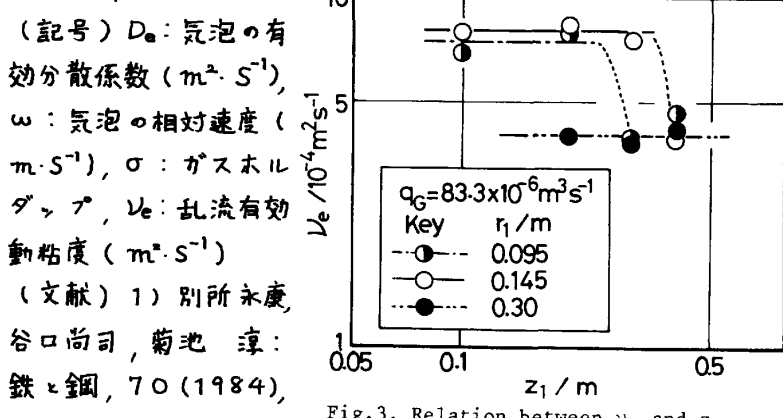
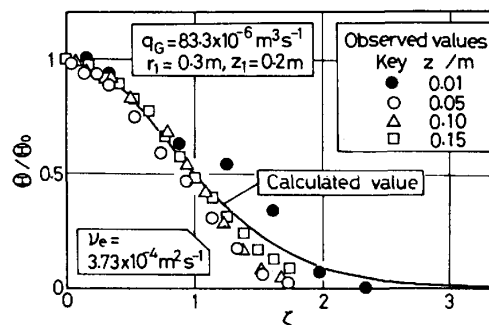
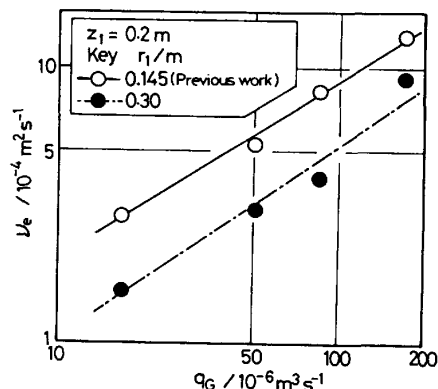
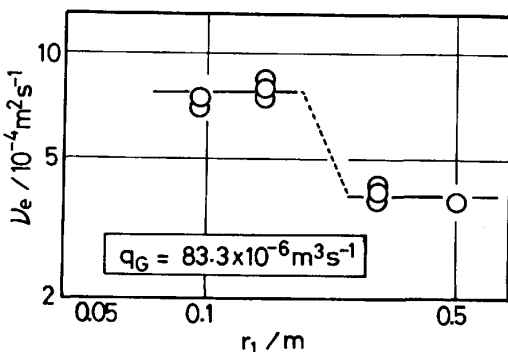
ここに  $\zeta = (\omega/\nu_e z)^{1/2}$ ,  $\Theta = (\bar{\theta}z/\omega^2)\sigma$  で、 $\sigma$  は  $\bar{\theta}$  より  $\sigma = \omega\bar{\theta}'/\zeta$  で算出される。また  $S (= D_e/\nu_e) = 1$  とした。

Fig. 1 に(1)～(3)式を解いて求めた  $\Theta$  と  $\zeta$  の関係を示した。

図中にガスホールダップ分布の実測値を示したが、実測値は  $z = 0.01 \text{ m}$  の場合を除けば計算値と大略一致している。

**4.  $\nu_e$ に対する諸因子の影響** Fig. 2 に  $\nu_e$  と  $q_G$  の関係を示した。 $\nu_e$  は  $q_G$  の増加とともに大きくなっている。Fig. 3 には  $\nu_e$  の  $z_1$  依存性を示した。図より、 $\nu_e$  が  $z_1$  に依存しない領域がありと認められる。その領域の  $\nu_e$  の  $r_1$  依存性を Fig. 4 に示した。 $r_1$  は  $r_1 \leq 0.145$  と  $r_1 \geq 0.3$  の値が異なる。

最後に、液本体の領域における乱流挙動についても検討するために、熱線流速計による流速測定ならびに乱流変動速度の周波数解析を行なった。10

Fig. 3. Relation between  $v_e$  and  $z_1$ .Fig. 1. Relation between  $\theta/\theta_0$  and  $\zeta$ .Fig. 2. Relation between  $v_e$  and  $q_G$ .Fig. 4. Relation between  $v_e$  and  $r_1$ .